5-羟色胺基因缺陷增强急性应激后高唤醒状态*

周 萍[1] 肖 华[1] 李勇辉[2,3] 董昕文[2]

（[1] 湖南师范大学教育科学学院心理学系，长沙 410018）（[2] 中国科学院心理研究所心理健康重点实验室，北京 100101）

（[3] 中国科学院大学心理学系，北京 100049）

摘 要 剧烈的应激刺激会引起持续的高唤醒状态，是多种应激障碍的核心症状，并推进其他症状的发生发展。本研究关注 5-羟色胺在应激诱发高唤醒的发生、发展中的作用，通过测量听觉惊吓反射水平反映高唤醒状态，考察色氨酸羟化酶-2 基因缺陷小鼠在天敌或电击应激前后高唤醒的变化。研究发现，雄性基因缺陷小鼠在应激后出现持续一周以上的高唤醒表现，而野生型小鼠高唤醒状态很快恢复。结果提示，基因缺陷引起的 5-羟色胺降低可能是强应激诱发的持续高唤醒的易感因素。

关键词 高唤醒，5-羟色胺，色氨酸羟化酶-2，听觉惊吓反射

1 引言

应激刺激是对机体的生存、繁衍过程有伤害或干扰的刺激，能够诱发机体的应激反应以降低应激刺激造成的伤害。当应激刺激的强度过大，超出应激系统的承受能力，达到创伤应激程度，则会打破应激系统的稳态(McEwen, 2017)，使机体产生持续的过度反应，出现急性应激障碍、创伤后应激障碍、适应障碍等应激相关精神障碍(American Psychiatric Association, 2013)。

唤醒状态持续处于高水平是创伤应激引起的过度应激反应之一，对创伤相关记忆的闯入性回忆、负性心境、情绪麻木等心理症状有预测性(Bryant et al., 2008, 2017; Gelkopf et al., 2019)。高唤醒症状的强度和表现受到创伤类型和强度的影响，如暴力伤害比意外事故能引起更严重的高唤醒症状(Agarwal et al., 2020)，但是也有研究发现，高唤醒症状相比其他 PTSD 症状，在不同创伤类型之间变异性更低(Boal et al., 2017)。应激引起的高唤醒状态受到多个神经化学系统的调节，包括去甲肾上腺素系统、5-羟色胺(5-hydroxytryptamine, 5-HT)系统、应激激素系统及其它多个神经肽系统(Stam, 2007)。其中 5-HT 对慢性高唤醒症状有重要作用(Young, 2013)。

收稿日期：2021-08-17

* 中国科学院心理研究所科研启动经费(E0CX4810)资助。

通讯作者：董昕文, Email: dongxw@psych.ac.cn

5-HT 是一种单胺类神经递质，又称血清素，分泌 5-HT 的细胞胞体主要位于脑干中缝核，并投射到多个应激相关的前脑区域，包括杏仁核、终纹床核、海马和前额叶(McQuade & Sharp, 2002)。5-HT 不仅参与调节睡眠、觉醒状态(Monti, 2011)，还参与调节应激引起的唤醒上升(Linthorst & Reul, 2008; Wankhar et al., 2020)。在中等应激强度下，5-HT 在前额叶的释放可以减少烦躁不安和焦虑(Sherin & Nemeroff, 2011)，严重的创伤应激则会导致 5-HT 系统短时间内过度激活，随后导致 5-HT 的耗竭(Kaehler et al., 2000)，出现烦躁不安、易激惹、注意力不集中等高唤醒表现(Young, 2013)。当前对于 5-HT 与高唤醒关系的研究很少，作用机制不明确。

基于动物模型对创伤应激反应进行的研究，通常采用两类应激方式，分别是心理应激方式，比如天敌或天敌气味暴露、（无接触的）社交挫败等，和生理与心理应激相结合的应激方式，比如束缚、电击、水下应激等(Stam, 2007; Török et al., 2019)。目前没有研究系统对比过动物模型中应激类型对高唤醒状态的强度和持续时间的影响。高唤醒的具体表现包括心率、血压等心血管活动提高，入睡困难或睡眠维持困难，注意力无法集中，易激惹，持续的惊吓反射上升等。其中惊吓反射(startle reflex)是个体对外界突发性强刺激作出的防御反射，表现为面部与躯干肌肉的快速收缩。相比其它高唤醒的生理或行为表现，惊吓反射用于实验研究具有诸多优点，包括在哺乳动物中广泛存在，反应幅度相对稳定，可反复测试而没有明显的习惯化现象，测量方法简单易操作，因此是反映高唤醒程度的稳定客观指标(Lang et al., 1990)，适用于前临床研究和临床转化研究。

本研究关注 5-HT 在创伤应激造成的持续高唤醒状态中的调节作用，基于实验室先前建立的创伤后应激障碍动物模型(Dong & Li, 2014)，通过测量惊吓反射幅度反映唤醒水平，采用色氨酸羟化酶(tryptophan hydroxylase, Tph)基因缺失小鼠考察不同 5-HT 水平对创伤引起的高唤醒的影响。Tph 是将色氨酸转化为 5-羟色氨酸的催化酶，共有 Tph1 和 Tph2 两种亚型，中枢神经系统内以 Tph2 为主(Walther et al., 2003)。*Tph2* 基因完全敲除（*Tph2*-/-）的小鼠脑内 5-HT 合成减少约 95% (Gutknecht et al., 2012; Liu et al., 2011)，极易夭折，健康状态差。杂合型(*Tph2*+/-)小鼠脑内 5-HT 合成减少约 20%～25% (Liu et al., 2011)，没有明显的健康问题。因此，本研究采用杂合型 *Tph2* 基因缺失小鼠，与野生型小鼠对比，并采用纯心理应激（天敌暴露应激）和生理心理应激相结合（足底电击应激）两种应激方式，考察 5-HT 降低对创伤应激引起的高唤醒的产生、发展的作用，同时考察其中的性别差异。

2 实验材料和方法

2.1 实验动物

实验采用野生型小鼠和 *Tph2* 基因缺失的杂合型(*Tph2*+/-)小鼠共 136 只，其中雄性野生型

小鼠 26 只，雌性野生型小鼠 35 只，雄性 *Tph2*+/-小鼠 40 只，雌性 *Tph2*+/-小鼠 35 只。野生型小鼠为 C57/BL6J 型小鼠，*Tph2*+/-小鼠遗传背景同为 C57/BL6J，从北京大学实验动物中心购入，购入时体重 23～26 g，10 周龄。购入后在中国科学院心理研究所动物实验平台进行繁育。小鼠出生后 21 天，进行基因鉴定，然后根据基因型分笼饲养，每盒 2～5 只。实验均在光照期进行（8:00 至 20:00），温度 21～24 ℃，湿度 40%～60%。实验期间保持动物自由进食和饮水，每周至少更换一次垫料。正式实验开始前，实验人员对小鼠进行抓取、抚摸等操作，每次 5 分钟，每天一次，连续进行 7 天，使其适应实验人员操作。所有实验操作符合《实验动物管理条例》，并且经中国科学院心理研究所伦理委员会审核通过。

2.2 实验基本流程与分组

所有小鼠在适应实验人员操作一周后进行听觉惊吓反射测试，每天一次，共两次。第一次测试作为动物适应测试环境和测试过程的适应，数据未进行统计。根据第二次惊吓反射测试基线值，对所有小鼠进行伪随机平衡分组，不同组动物在两天后接受不同应激处理，分别为无应激组（控制组）、天敌暴露应激组（天敌组）、足底电击应激组（电击组）。其中，野生型雄鼠控制组 8 只，天敌组 9 只，电击组 9 只；*Tph2*+/-雄鼠控制组 13 只，天敌组 13 只，电击组 14 只；野生型雌鼠控制组 12 只，天敌组 12 只，电击组 11 只；*Tph2*+/-雌鼠控制组 12 只，天敌组 12 只，电击组 11 只。由于部分小鼠在接受天敌应激时受到天敌（猫）的直接攻击，实际纳入数据分析的天敌应激组动物数量为：雄性野生型 9 只，雄性 *Tph2*+/-型 10 只，雌性野生型 8 只，雌性 *Tph2*+/-型 6 只。在应激后不同时间点，对所有动物进行多次听觉惊吓反射测试，分别为应激后 1 天、2 天、10 天、18 天，考察不同应激诱发的听觉惊吓反射幅度变化过程。

2.3 基因型鉴定方法

从鼠尾末端组织中提取 DNA，采用以下序列的引物进行聚合酶链式反应(polymerase chain reaction, PCR)扩增：5‘-GGGCATCTCAGGACGTAGTAG; 5’-GGGCCTGCCGATAGTAA CAC; 5‘-GCAGCCAGTAGACGTCTCTTAC；之后根据凝胶电泳成像结果判断小鼠基因型。

2.4 应激方法

无应激组（控制组）小鼠，转移至非饲养间的实验室中，在与饲养盒相似大小的盒中独处 10 分钟，回到原饲养盒。

天敌暴露应激组（天敌组）小鼠，被放入猫所在的敞口开放空间（2 × 1 × 1 米)，实验人员在旁边监控，如果二者间距离小于 20 厘米则立即将小鼠转移至空间内远离猫的位置，避免直接接触及可能的躯体伤害。部分小鼠受到猫的直接攻击，未纳入后续测试和数据分析（详

见 2.2）。5 分钟后取出小鼠，回到饲养间。

足底电击应激组（电击组）小鼠，被放入电击箱（30 × 30 × 27 厘米，天鸣宏远科技发展有限公司），3 分钟后接受第一次足底电击，电流强度 1.5 mA，持续 5 秒，共接受 5 次电击，间隔 60～120 s，最后一次电击后，在电击箱中停留 1 分钟，之后放回到饲养盒。电击箱采用 5%酒精清洁。

2.5 听觉惊吓反射测试

听觉惊吓反射通过听觉惊反射系统（San Diego Instruments 公司）进行测量。从饲养盒取出小鼠，放入适配小鼠的固定盒，将固定盒放入隔音箱中，隔音箱内扬声器持续播放 65 分贝白噪音直至实验结束。进入隔音箱 5 分钟后，给予 90 分贝、100 分贝、110 分贝，持续 50 毫秒的白噪音刺激各 10 次，刺激顺序随机，刺激间隔 10～50 秒随机。通过小鼠固定盒底部的加速度传感器，记录小鼠在声音刺激开始前 200 毫秒到声音结束后 1000 毫秒的重力变化，采样率为每秒 1000 次。结束后，取出小鼠，放回到饲养笼，用 5%酒精清洁动物固定盒。

2.6 统计分析

使用 R 1.70 和 RStudio 1.3.959 软件进行数据处理。由于多数小鼠在 90 分贝噪音刺激下没有出现明显的惊吓反射反应，没有将 90 分贝条件下的惊吓反射反应纳入统计分析，而采用了 100 分贝和 110 分贝诱发的惊吓反射的平均值。对雄性和雌性小鼠的听觉惊吓反射幅度分别进行三因素混合方差分析（基因型×应激类型×测量时间，测量时间为重复测量因素），并进行事后检验和简单效应分析（均采用 TukeyHSD 校正），以 $p < 0.05$ 为差异显著标准，并报告效应量 η^2 和 95%置信区间。

3 结果

3.1 性别、基因型对小鼠听觉惊吓反射基线水平的影响

应激前对所有动物进行了听觉惊吓反射测量，考察性别、基因型（野生型或 *Tph2*+/-）对听觉惊吓反射幅度的影响。组间方差分析结果显示，性别主效应显著（$F_{(1,119)} = 18.6, p < 0.001, \eta^2 = 0.135$，图 1），雄性动物的惊吓反射幅值显著大于雌性动物[36.5; 99.5]，基因型主效应不显著（$F_{(1,119)} = 0.38, p = 0.54$），性别与基因型的交互作用不显著（$F_{(1,119)} = 0.46, p = 0.50$）。根据基线测试结果，对不同性别、不同基因型的小鼠进行平衡分组，分别接受不同类型应激刺激。

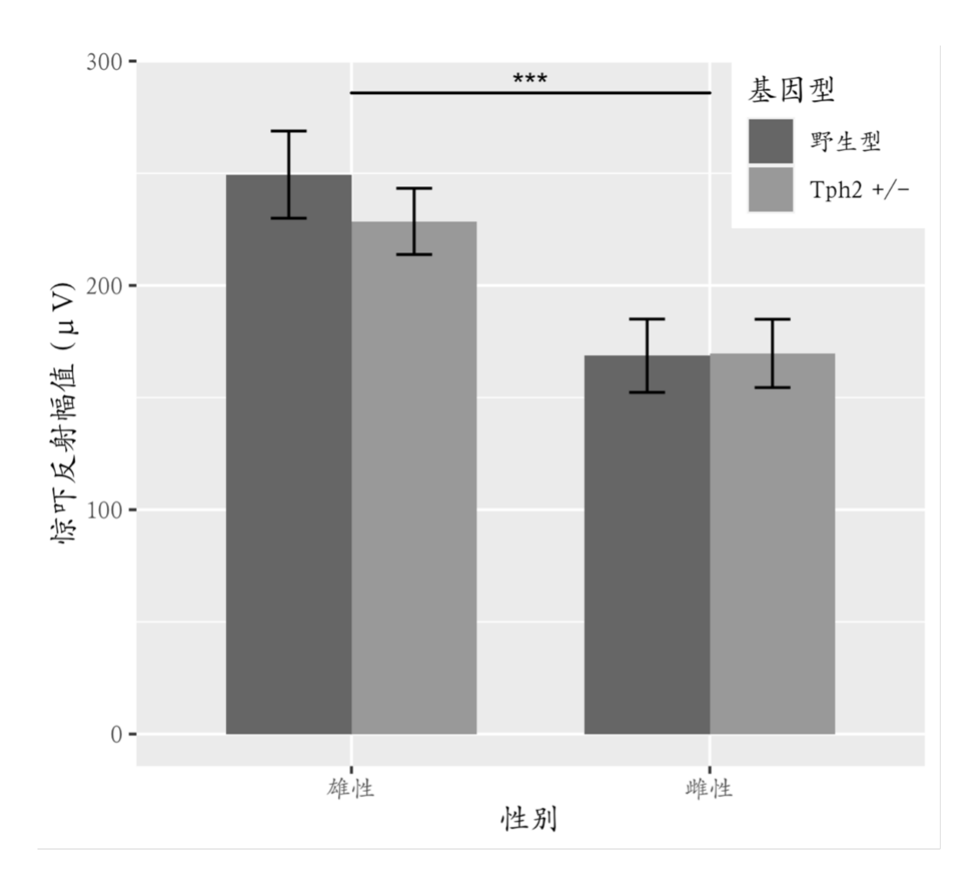


图 1 性别、基因型对小鼠听觉惊吓反射幅值的影响

注：误差线为标准误（*SEM*）。各组例数：雄性野生，$n = 26$；雄性 *Tph2* +/-，$n = 37$；雌性野生型，$n = 31$；雌性 *Tph2* +/-，$n = 29$。雄性野生型雄性小鼠惊吓反射基线值显著高于雌性小鼠，*** $p < 0.001$，同一性别不同基因型小鼠之间惊吓反射基线值无差别。

3.2 *Tph2* 基因对雄性小鼠应激后听觉惊吓反射的影响

基于惊吓反射基线值对不同基因型小鼠进行平衡分组后，分别进行了天敌暴露应激、足底电击应激及无应激操作，并在 1 天、2 天、10 天、18 天后进行四次听觉惊吓反射测试。以测量时间为重复测量变量，应激类型和基因型为组间变量，分别对不同性别小鼠的惊吓反射幅值进行了方差分析。

结果显示，应激类型对雄性小鼠惊吓反射反应幅度有显著影响（$F_{(2,57)} = 7.17, p = 0.002, \eta^2 = 0.09$, 图 2），在天敌暴露应激和电击应激后均出现了惊吓反射上升（天敌组与控制组，$p = 0.001$, [22.6; 109.0]; 电击组与控制组，$p < 0.001$, [53.0; 136.0]）；基因型主效应不显著（$F_{(1,57)} = 0.035, p = 0.85, \eta^2 < 0.01$）；基因型与应激类型交互作用显著（$F_{(2,57)} = 3.20, p = 0.048, \eta^2 = 0.043$）。进一步的简单效应分析显示，经历电击应激的雄性 *Tph2* +/-小鼠相比控制组和天敌应激组，听觉惊吓反射幅度更高（电击组与控制组，$p < 0.001$, [63.5; 192.0]；电击组与天敌组，$p = 0.022$, [6.76; 145.0]），而不同应激处理组的野生型雄性小鼠惊吓反射幅值无差异（$p > 0.05$）。不同测量时间惊吓反射有显著变化（$F_{(3.37,192.34)} = 20.4, p < 0.001, \eta^2 = 0.18$, 图 2）。对应激效果的简单效应分析显示，在应激后 1 天、2 天、10 天，电击组雄性 *Tph2* +/-小鼠的惊吓反射幅值均

显著高于控制组（应激后 1 天，$p = 0.031$, [13.0; 312]；应激后 2 天，$p < 0.001$, [84.4; 325]；应激后 10 天，$p = 0.002$, [68.3; 311]），天敌组雄性 *Tph2* +/-小鼠与控制组在无显著差异（各个时间点，$p > 0.05$）；野生型小鼠，仅在应激后 1 天，天敌应激组惊吓反射显著高于控制组（$p = 0.025$, [22.6; 374]），在其它时间点天敌组和电击组小鼠的惊吓反射幅值均与控制组无显著差异（$p > 0.05$）。对基因型影响的简单效应分析显示，在应激后第 10 天，经足底电击的雄性 *Tph2* +/-小鼠惊吓反射幅值显著高于野生型（$p = 0.010$, [42.4; 283]），其他时间点各处理组之间不同基因型小鼠惊吓反射无显著差异（$p > 0.05$）。上述结果说明，*Tph2*+/-小鼠在电击应激后产生了持续 10 天以上的惊吓反射上升表现；基因型对应激引起的惊吓反射幅度上升的影响表现在应激后数天，而非即刻影响。

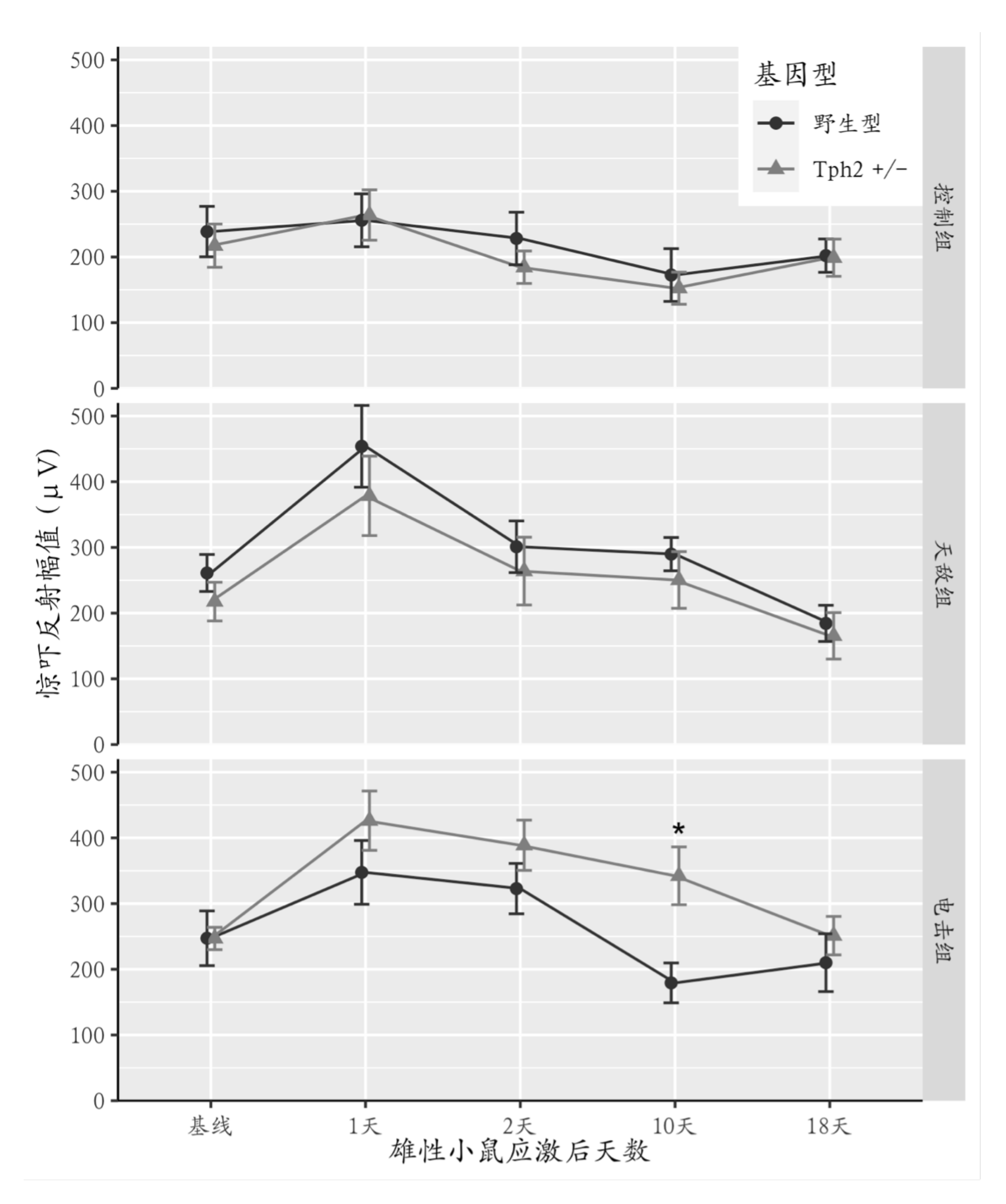


图 2 雄性小鼠在应激前后听觉惊吓反射幅值变化

注：误差线为标准误（*SEM*）。各组例数：野生型控制组，*n* = 8，天敌组，*n* = 9，电击组，*n* = 9；*Tph2* +/-控制组，*n* = 13，天敌组，*n* = 10 只，电击组，*n* = 14。图中*标记指示电击应激后 10 天，不同基因型的雄性小鼠间的惊吓反射幅度差异，* $p < 0.05$。

3.2 *Tph2* 基因对雌性小鼠应激后听觉惊吓反射的影响

不同于雄性小鼠在应激后出现明显的惊吓反射上升现象，雌性小鼠在天敌或电击应激后均没有明显的惊吓反射变化（$F_{(2,54)} = 0.12, p = 0.88, \eta^2 = 0.003$，图 3），不同基因型间无差异（$F_{(1,54)} = 0.71, p = 0.41, \eta^2 = 0.009$，图 3），但是应激刺激、基因型与测试时间三者之间存在显著的交互作用（$F_{(6.16,166.39)} = 2.62, p = 0.018, \eta^2 = 0.027$，图 3）。进一步的简单效应分析显示，

在应激后 10 天，接受天敌应激的雌性 *Tph2* +/-小鼠惊吓反射幅值显著高于野生型（p = 0.021, [20.5; 207]）；其他时间点，各个应激组的不同基因型小鼠之间无显著差异。上述结果说明，雌性小鼠在天敌暴露应激和足底电击应激后早期（应激后 1 天）没有出现明显的惊吓反射幅度变化，天敌应激后 10 天 *Tph2* +/-小鼠有惊吓反射小幅上升现象。

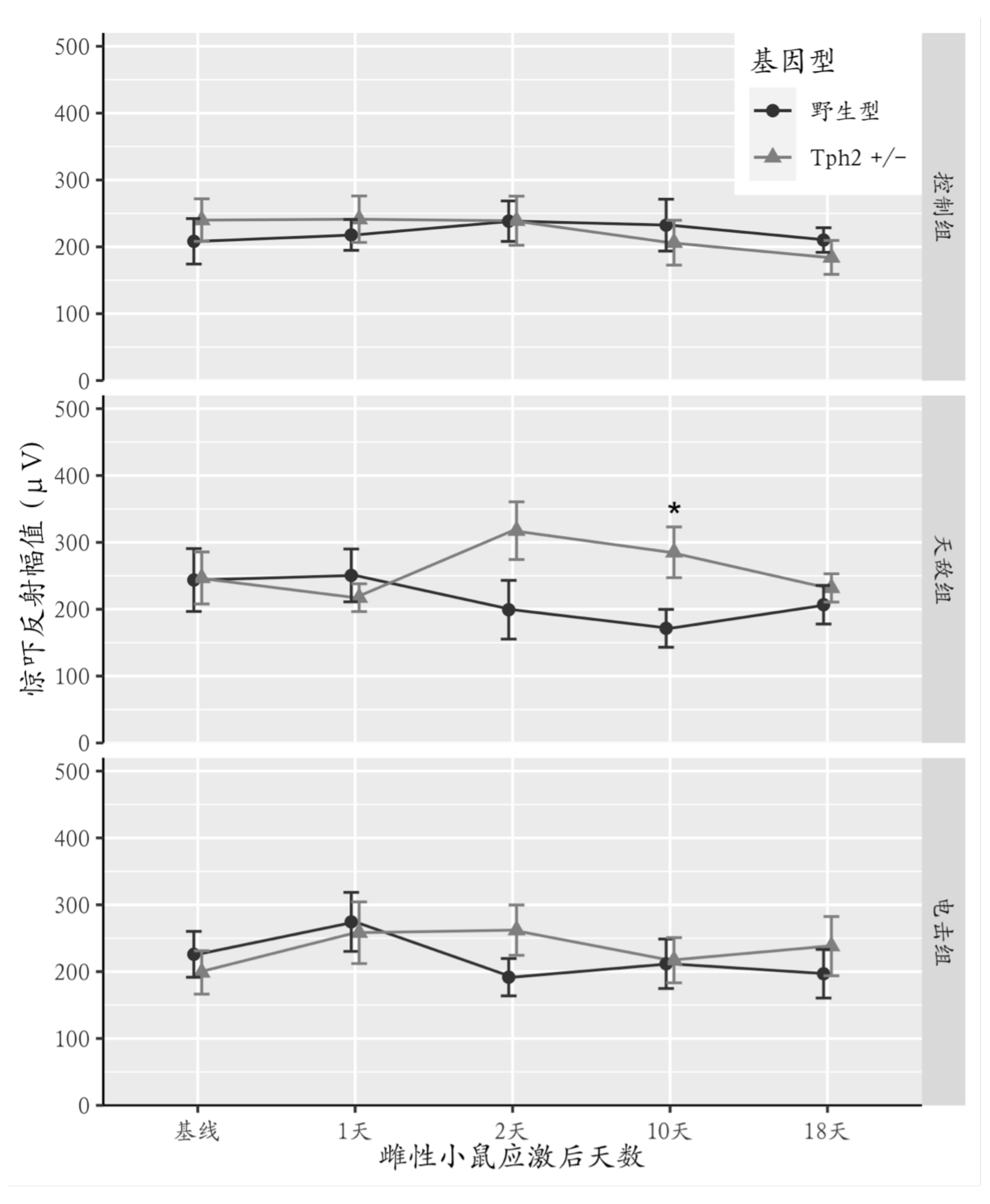


图 3 雌性小鼠在应激前后听觉惊吓反射幅值变化

注：误差线为标准误（*SEM*）。各组例数：野生型控制组，n = 12，天敌组，n = 8，电击组，n = 11；*Tph2* +/-雌鼠控制组，n = 12，天敌组，n = 6，电击组，n = 11。图中*标记指示天敌暴露应激后 10 天，不同基因型的雌性小鼠间的惊吓反射幅度差异，* $p < 0.05$。

4 讨论

本研究关注 5-HT 对创伤应激诱发的高唤醒的影响，通过天敌暴露和足底电击两种创伤应激手段，以听觉惊吓反射作为唤醒水平客观指标，对比了 5-HT 合成酶 *Tph2* 基因缺失小鼠与野生型小鼠在创伤应激后急性与慢性高唤醒反应变化。结果发现，雄性野生型小鼠在创伤应激后出现明显的急性高唤醒表现，随后逐渐恢复，慢性反应不明显，而雄性 *Tph2* 基因缺失小鼠在创伤应激后不仅有明显的急性高唤醒表现，并且能持续 10 天以上，具有一定程度的慢性高唤醒，体现了基因与环境的交互作用；雌性小鼠的惊吓反射幅度明显低于雄性小鼠，野生型小鼠在创伤应激后没有表现出惊吓反射水平波动，雌性 *Tph2* 基因缺失小鼠在天敌暴露应激后有相对较弱的慢性唤醒上升表现。

对雄性小鼠应激前后多次听觉惊吓反射测量结果显示，*Tph2*+/-小鼠与野生型小鼠的唤醒基线水平没有明显差异，但是在应激后约两周内 *Tph2*+/-小鼠唤醒水平持续处于较高状态。这一结果提示，*Tph2* 基因缺失导致的较低水平 5-HT 可能参与创伤应激后高唤醒状态的保持，说明 5-HT 可能具有促进应激反应恢复的作用。有研究显示，*Tph2* 功能失调小鼠对社会挫败应激、束缚应激、天敌应激等急性应激表现出更高的易感性(Araragi & Lesch, 2013; Brivio et al., 2018; Lieb et al., 2019; Russo et al., 2019; Sachs et al., 2015; Weidner et al., 2019)，同时也有研究发现 *Tph2* 基因缺陷小鼠在多个焦虑行为测试中与野生型没有显著差异(Mosienko et al., 2014; Savelieva et al., 2008; Strekalova et al., 2021)。结合本研究中 *Tph2*+/-小鼠在应激后才出现唤醒水平持续上升的现象，我们推测 *Tph2* 基因缺陷引起的 5-HT 低水平主要参与强应激后相对缓慢的恢复过程，但是不影响较弱应激刺激引起的即时反应。Tph2 分布在中缝核的 5-HT 神经元内，是中枢神经系统内 5-HT 合成过程中的重要催化酶，相关的基因缺陷会引起 5-HT 合成的效率和总量降低(Abela et al., 2020; Gutknecht et al., 2012; Jacobsen et al., 2012; Liu et al., 2011)。通过光遗传等技术对 5-HT 神经元进行调控的研究发现，激活中缝核的 5-HT 神经元会引起焦虑和恐惧行为增强，损毁神经元或阻断下游受体则降低焦虑(da Silva Soares et al., 2019)，具体的神经通路是中缝核到基底杏仁核或到背侧海马的 5-HT 投射(Abela et al., 2020; Bernabe et al., 2020; Sengupta & Holmes, 2019)。上述结果提示，短期内 5-HT 释放增加具有增强焦虑、恐惧等应激反应的效果。但是，在我们的研究中，经过基因敲除的小鼠 Tph2 一直处于低水平，对 5-HT 系统及其下游神经结构的功能有持续影响及代偿效果，因此得到不同于光遗传或药理实验中急性干预 5-HT 系统的行为结果。对 *Tph2* 基因缺陷动物的研究发现，5-HT 系统出现 5-HT 分解速度降低(Mosienko et al., 2014)、5-HT1A 受体功能和表达量改变(Gutknecht et al., 2012; Jacobsen et al., 2012)。因此，*Tph2* 基因缺损引起的强应激后持续高唤醒可能不仅与 5-HT 合成

降低有关，还与 5-HT 递质-受体系统的整体平衡失调有关。

本研究结果提示，雄性 *Tph2* 基因缺陷小鼠在强应激后出现持续时间更长的高唤醒状态。对应激后高唤醒状态与 PTSD 其他症状发展的研究发现，高唤醒能够预测其他症状的发生或严重程度(Coronas et al., 2011; Greene et al., 2020; Shaikh al arab et al., 2012)，高唤醒可能是驱动 PTSD 病程发展的关键因素。另一方面，有研究发现 *Tph2* 基因的单核苷酸多态性与 PTSD 和抑郁症的症状发展、治疗效果有关(Cao et al., 2014; Tao et al., 2018; Xu et al., 2016)。基于本研究结果，我们认为 *Tph2* 基因缺陷可能通过加剧急性应激后的高唤醒状态增加 PTSD 或抑郁症的患病率，同时提示在创伤应激后早期对 5-HT 系统的干预可能降低 PTSD 的发生率。目前选择性 5-羟色胺重摄取抑制剂（selective serotonin re-uptake inhibitors, SSRIs）是治疗 PTSD 的主要临床药物，尽管治愈率仅为 20%～30%，仍然高于其他类型药物(Akiki & Abdallah, 2018; Thakur et al., 2021)。目前对 SSRIs 用于创伤后早期干预的报道十分有限(Sijbrandij et al., 2015)，创伤后使用 SSRIs 能否降低 PTSD 的发生率或严重程度仍需要更多临床证据。我们的结果提示，在应激后数日内使用 SSRIs，增加可用的 5-HT，可能缓解基因缺损造成的中枢神经系统 5-HT 不足的个体的高唤醒状态。

本研究采用了天敌暴露和足底电击两种急性应激方式诱发持续的高唤醒反应。结果发现，天敌应激对雄性野生型和 *Tph2*+/-小鼠的惊吓反射反应没有造成持续影响，与控制组的差异只在应激后 24 小时达到统计显著水平，而较强的足底电击引起雄性 *Tph2*+/-小鼠惊吓反射持续处于较高水平。两种应激方式都是当前动物模型中常见的诱发 PTSD 样行为的强刺激，均能引起多种 PTSD 样行为，且持续时间超过一个月(Cohen et al., 2011; Cohen & Zohar, 2004; Smith et al., 2019; Török et al., 2019)。两种应激方式相比，天敌应激是纯粹的心理应激，而电击应激伴随以痛觉为主的伤害性体验，二者受到不同神经环路的调节，诱发的应激反应存在一些差异(Gross & Canteras, 2012)。对创伤应激后惊吓反射变化的研究相对较少，其中 Cohen 实验室的结果显示，天敌或天敌气味暴露 10 分钟能够引起应激后一个月时出现惊吓反射上升。但是，该反应存在明显的个体差异，在雄性大鼠中，惊吓反射明显上升的个体约占 40%，而雌性大鼠的比例较低，只有约 16% (Koresh et al., 2016)。也有研究发现，天敌应激和电击应激均对惊吓反射幅值没有明显影响(Smith et al., 2019; Zoladz et al., 2019)，甚至有降低惊吓反射的效果(Gonzales et al., 2008)。我们的研究中，雄性小鼠在应激后短期出现了明显的惊吓反射上升，而 *Tph2* 基因缺陷雄性小鼠在电击应激后出现了超过 10 天的惊吓反射上升现象。这种现象可能是由于我们选择的小鼠具有更高的基因相似性，个体差异小于 Cohen 实验室采用的封闭群大鼠，并且 *Tph2* 基因缺损导致的 5-HT 系统失衡增强了惊吓反射上升的持续时间。

本研究对比了雄性和雌性野生型和 *Tph2*+/-小鼠在创伤应激后的惊吓反射反应，发现雌性小鼠的惊吓反射基线水平低于雄性小鼠，且在强应激后早期没有出现幅度变化，仅在应激后 10 天经天敌应激的雌性 *Tph2*+/-小鼠发现了较弱的惊吓反射上升现象。这一结果说明，应激引起的惊吓反射反应性别差异明显。对人的惊吓反射研究没有发现男性与女性基线反应存在差异(Hubbard et al., 2011; Verona & Kilmer, 2007)，但是对雌性大鼠惊吓反射的研究发现，雌性动物的惊吓反射幅度低于雄性(Voulo & Parsons, 2017)，我们的结果认为小鼠也同样有此现象。雌性动物惊吓反射偏低可能与性激素的调节有关，因为有研究显示，卵巢切除的雌性动物惊吓反射有所上升(Zoladz et al., 2019)。我们的结果还发现，雌性小鼠在应激后没有出现雄性小鼠中发现的惊吓反射急性上升现象，这同样与以往研究报道的雌性大鼠应激后的表现相似(Voulo & Parsons, 2017, 2019)。事实上，女性中 PTSD 患病率高于男性(Kessler et al., 1995; Kilpatrick et al., 2013)，与睡眠相关的高唤醒症状比男性更严重(Kobayashi & Mellman, 2012)。性别差异对惊吓反射的影响及其机制可能不同于其他 PTSD 症状，目前尚无相关研究证据。本研究结果显示雌性 *Tph2* 基因缺陷小鼠在天敌应激后 10 天相比野生型小鼠有惊吓反射幅度上升，但是相比同组动物应激前的惊吓反射水平并没有明显差异，与未经历应激的控制组转基因雌鼠相比亦无差异。这一结果可能提示，雌性动物脑内较低水平的 5-HT 可能能引起应激后慢性的唤醒增强。对 5-HT 调节慢性应激反应中的性别差异的研究较少，仅有少量研究显示，雌性 *Tph2* 基因缺陷小鼠在应激后没有明显焦虑反应(Auth et al., 2018)，5-HT 转运体相关基因缺陷的雌性小鼠在应激后脑内杏仁核区域脑血流无明显变化，而雄性小鼠该脑区的脑血流受到相关基因的明显调控(Kolter et al., 2021)。

综上所述，本研究结果发现，5HT 合成中关键催化酶 *Tph2* 基因缺陷的雄性小鼠在创伤应激后高唤醒持续时间更长，体现了基因和环境共同影响 PTSD 高唤醒症状的发生、发展，也验证了 5-HT 在高唤醒的产生发展中的关键作用，说明 5-HT 不足会导致应激后更高的唤醒水平，难以恢复。这一结果为进一步研究 PTSD 高唤醒症状以及其 5-HT 机制提供了的行为遗传模型。

参考文献

Abela, A. R., Browne, C. J., Sargin, D., Prevot, T. D., Ji, X. D., Li, Z., Lambe, E. K., & Fletcher, P. J. (2020). Median raphe serotonin neurons promote anxiety-like behavior via inputs to the dorsal hippocampus. *Neuropharmacology*, *168*, 107985. https://doi.org/10.1016/j.neuropharm.2020.107985

Agarwal, T. M., Muneer, M., Asim, M., Awad, M., Afzal, Y., Al-Thani, H., Alhassan, A., Mollazehi, M., & El-Menyar, A. (2020). Psychological trauma in different mechanisms of traumatic injury: A hospital-based cross-sectional study. *PLoS ONE, 15(*11), e0242849. https://doi.org/10.1371/journal.pone.0242849

Akiki, T. J., & Abdallah, C. G. (2018). Are There Effective Psychopharmacologic Treatments for PTSD? *The Journal of Clinical Psychiatry*, *80*(3). https://doi.org/10.4088/JCP.18ac12473

American Psychiatric Association. (2013). *Diagnostic and Statistical Manual of Mental Disorders* (Fifth Edition). American Psychiatric Association. https://doi.org/10.1176/appi.books.9780890425596

Araragi, N., & Lesch, K.-P. (2013). Serotonin (5-HT) in the Regulation of Depression-Related Emotionality: Insight from 5-HT Transporter and Tryptophan Hydroxylase-2 Knockout Mouse Models. *Current Drug Targets*, *14*(5), 549–570. https://doi.org/10.2174/1389450111314050005

Auth, C. S., Weidner, M. T., Popp, S., Strekalova, T., Schmitt-Böhrer, A. G., van den Hove, D. L., Lesch, K.-P., & Waider, J. (2018). Differential anxiety-related behaviours and brain activation in Tph2-deficient female mice exposed to adverse early environment. *European Neuropsychopharmacology*, *28*(11), 1270–1283. https://doi.org/10.1016/j.euroneuro.2018.07.103

Bernabe, C. S., Caliman, I. F., Truitt, W. A., Molosh, A. I., Lowry, C. A., Hay-Schmidt, A., Shekhar, A., & Johnson, P. L. (2020). Using loss- and gain-of-function approaches to target amygdala-projecting serotonergic neurons in the dorsal raphe nucleus that enhance anxiety-related and conditioned fear behaviors. *Journal of Psychopharmacology*, *34*(4), 400–411. https://doi.org/10.1177/0269881119900981

Boal, A. L., Vaughan, C. A., Sims, C. S., & Miles, J. N. V. (2017). Measurement invariance across administration mode: Examining the Posttraumatic Stress Disorder (PTSD) Checklist. *Psychological Assessment, 29*(1), 76–86. https://doi.org/10.1037/pas0000301

Brivio, P., Sbrini, G., Peeva, P., Todiras, M., Bader, M., Alenina, N., & Calabrese, F. (2018). TPH2 Deficiency Influences Neuroplastic Mechanisms and Alters the Response to an Acute Stress in a Sex Specific Manner. *Frontiers in Molecular Neuroscience*, *11*, 389. https://doi.org/10.3389/fnmol.2018.00389

Bryant, R. A., Creamer, M., O'Donnell, M., Forbes, D., McFarlane, A. C., Silove, D., & Hadzi-Pavlovic, D. (2017). Acute and Chronic Posttraumatic Stress Symptoms in the Emergence of Posttraumatic Stress Disorder: A Network Analysis. *JAMA Psychiatry*, *74*(2), 135. https://doi.org/10.1001/jamapsychiatry.2016.3470

Bryant, R. A., Creamer, M., O'Donnell, M., Silove, D., & McFarlane, A. C. (2008). A Multisite Study of Initial Respiration Rate and Heart Rate as Predictors of Posttraumatic Stress Disorder. *The Journal of Clinical Psychiatry*, *69*(11), 1694–1701. https://doi.org/10.4088/JCP.v69n1104

Cao, C., Wang, L., Wang, R., Qing, Y., & Zhang, J. (2014). TPH2 genotype is associated with PTSD's avoidance symptoms in Chinese female earthquake survivors. *Psychiatric Genetics*, *24*(6), 257–261. https://doi.org/10.1097/YPG.0000000000000048

Cohen, H., Kaplan, Z., Koresh, O., Matar, M. A., Geva, A. B., & Zohar, J. (2011). Early post-stressor intervention with propranolol is ineffective in preventing posttraumatic stress responses in an animal model for PTSD. *European Neuropsychopharmacology*, *21*(3), 230–240. https://doi.org/10.1016/j.euroneuro.2010.11.011

Cohen, H., & Zohar, J. (2004). An Animal Model of Posttraumatic Stress Disorder: The Use of Cut-Off Behavioral Criteria. *Annals of the New York Academy of Sciences*, *1032*(1), 167–178. https://doi.org/10.1196/annals.1314.014

Coronas, R., Gallardo, O., Moreno, M. J., Suárez, D., García-Parés, G., & Menchón, J. M. (2011). Heart rate measured in the acute aftermath of trauma can predict post-traumatic stress disorder: A prospective study in motor vehicle accident survivors. *European Psychiatry*, *26*(8), 508–512. https://doi.org/10.1016/j.eurpsy.2010.06.006

da Silva Soares, R., Falconi-Sobrinho, L. L., Almada, R. C., & Coimbra, N. C. (2019). Dorsal raphe nucleus 5-Hydroxytryptamine 2A receptors are critical for the organisation of panic attack-like defensive behaviour and unconditioned fear-induced antinociception elicited by the chemical stimulation of superior colliculus neurons. *European Neuropsychopharmacology: The Journal of the European College of Neuropsychopharmacology*, *29*(7), 858–870. https://doi.org/10.1016/j.euroneuro.2019.05.007

Dong, X., & Li, Y. (2014). Peritraumatic startle response predicts the vulnerability to develop PTSD-like behaviors in rats: A model for peritraumatic dissociation. *Frontiers in Behavioral Neuroscience*, *8*. https://doi.org/10.3389/fnbeh.2014.00014

Gelkopf, M., Lapid Pickman, L., Carlson, E. B., & Greene, T. (2019). The Dynamic Relations Among Peritraumatic Posttraumatic Stress Symptoms: An Experience Sampling Study During Wartime. *Journal of Traumatic Stress*, jts.22374. https://doi.org/10.1002/jts.22374

Gonzales, M., Garrett, C., Chapman, C. D., & Dess, N. K. (2008). Stress-induced attenuation of acoustic startle in low-saccharin-consuming rats. *Biological Psychology*, *79*(2), 193–199. https://doi.org/10.1016/j.biopsycho.2008.04.011

Greene, T., Gelkopf, M., Fried, E. I., Robinaugh, D. J., & Lapid Pickman, L. (2020). Dynamic Network Analysis of Negative Emotions and DSM-5 Posttraumatic Stress Disorder Symptom Clusters During Conflict. *Journal of Traumatic Stress*, *33*(1), 72–83. https://doi.org/10.1002/jts.22433

Gross, C. T., & Canteras, N. S. (2012). The many paths to fear. *Nature Reviews. Neuroscience*, *13*(9), 651–658. https://doi.org/10.1038/nrn3301

Gutknecht, L., Araragi, N., Merker, S., Waider, J., Sommerlandt, F. M. J., Mlinar, B., Baccini, G., Mayer, U., Proft, F., Hamon, M., Schmitt, A. G., Corradetti, R., Lanfumey, L., & Lesch, K.-P. (2012). Impacts of Brain Serotonin Deficiency following Tph2 Inactivation on Development and Raphe Neuron Serotonergic Specification. *PLoS ONE*, *7*(8), e43157. https://doi.org/10.1371/journal.pone.0043157

Hubbard, C. S., Ornitz, E., Gaspar, J. X., Smith, S., Amin, J., Labus, J. S., Kilpatrick, L. A., Rhudy, J. L., Mayer, E. A., & Naliboff, B. D. (2011). Modulation of nociceptive and acoustic startle responses to an unpredictable threat in men and women. *Pain*, *152*(7), 1632–1640. https://doi.org/10.1016/j.pain.2011.03.001

Jacobsen, J. P. R., Siesser, W. B., Sachs, B. D., Peterson, S., Cools, M. J., Setola, V., Folgering, J. H. A., Flik, G., & Caron, M. G. (2012). Deficient serotonin neurotransmission and depression-like serotonin biomarker alterations in tryptophan hydroxylase 2 (Tph2) loss-of-function mice. *Molecular Psychiatry*, *17*(7), 694–704. https://doi.org/10.1038/mp.2011.50

Kaehler, S. T., Singewald, N., Sinner, C., Thurnher, C., & Philippu, A. (2000). Conditioned fear and inescapable shock modify the release of serotonin in the locus coeruleus. *Brain Research*, *859*(2), 249–254. https://doi.org/10.1016/s0006-8993(00)01967-3

Kessler, R. C., Sonnega, A., Bromet, E., Hughes, M., & Nelson, C. B. (1995). Posttraumatic stress disorder in the National Comorbidity Survey. *Archives of General Psychiatry*, *52*(12), 1048–1060. https://doi.org/10.1001/archpsyc.1995.03950240066012

Kilpatrick, D. G., Resnick, H. S., Milanak, M. E., Miller, M. W., Keyes, K. M., & Friedman, M. J. (2013). National estimates of exposure to traumatic events and PTSD prevalence using DSM-IV and DSM-5 criteria. *Journal of Traumatic Stress*, *26*(5), 537–547. https://doi.org/10.1002/jts.21848

Kobayashi, I., & Mellman, T. A. (2012). Gender Differences in Sleep During the Aftermath of Trauma and the Development of Posttraumatic Stress Disorder. *Behavioral Sleep Medicine*, *10*(3), 180–190. https://doi.org/10.1080/15402002.2011.654296

Kolter, J. F., Hildenbrand, M. F., Popp, S., Nauroth, S., Bankmann, J., Rother, L., Waider, J., Deckert, J., Asan, E., Jakob, P. M., Lesch, K.-P., & Schmitt-Böhrer, A. (2021). Serotonin transporter genotype modulates resting state and predator stress-induced amygdala perfusion in mice in a sex-dependent manner. *PloS One*, *16*(2), e0247311. https://doi.org/10.1371/journal.pone.0247311

Koresh, O., Kaplan, Z., Zohar, J., Matar, M. A., Geva, A. B., & Cohen, H. (2016). Distinctive cardiac autonomic dysfunction following stress exposure in both sexes in an animal model of PTSD. *Behavioural Brain Research*, *308*, 128–142. https://doi.org/10.1016/j.bbr.2016.04.024

Lang, P. J., Bradley, M. M., & Cuthbert, B. N. (1990). Emotion, attention, and the startle reflex. *Psychological Review*, *97*(3), 377–395.

Lieb, M. W., Weidner, M., Arnold, M. R., Loupy, K. M., Nguyen, K. T., Hassell, J. E., Schnabel, K. S., Kern, R., Day, H. E. W., Lesch, K.-P., Waider, J., & Lowry, C. A. (2019). Effects of maternal separation on serotonergic systems in the dorsal and median raphe nuclei of adult male Tph2-deficient mice. *Behavioural Brain Research*, *373*, 112086. https://doi.org/10.1016/j.bbr.2019.112086

Linthorst, A. C. E., & Reul, J. M. (2008). Stress and the brain: Solving the puzzle using microdialysis. *Pharmacology Biochemistry and Behavior*, *90*(2), 163–173. https://doi.org/10.1016/j.pbb.2007.09.019

Liu, Y., Jiang, Y., Si, Y., Kim, J.-Y., Chen, Z.-F., & Rao, Y. (2011). Molecular regulation of sexual preference revealed by genetic studies of 5-HT in the brains of male mice. *Nature*, *472*(7341), 95–99. https://doi.org/10.1038/nature09822

McEwen, B. S. (2017). Neurobiological and Systemic Effects of Chronic Stress. *Chronic Stress*, *1*, 247054701769232. https://doi.org/10.1177/2470547017692328

McQuade, R., & Sharp, T. (2002). Functional Mapping of Dorsal and Median Raphe 5-Hydroxytryptamine Pathways in Forebrain of the Rat Using Microdialysis. *Journal of Neurochemistry*, *69*(2), 791–796. https://doi.org/10.1046/j.1471-4159.1997.69020791.x

Monti, J. M. (2011). Serotonin control of sleep-wake behavior. *Sleep Medicine Reviews*, *15*(4), 269–281. https://doi.org/10.1016/j.smrv.2010.11.003

Mosienko, V., Matthes, S., Hirth, N., Beis, D., Flinders, M., Bader, M., Hansson, A. C., & Alenina, N. (2014). Adaptive changes in serotonin metabolism preserve normal behavior in mice with reduced TPH2 activity. *Neuropharmacology*, *85*, 73–80. https://doi.org/10.1016/j.neuropharm.2014.05.015

Russo, A. M., Lawther, A. J., Prior, B. M., Isbel, L., Somers, W. G., Lesku, J. A., Richdale, A. L., Dissanayake, C., Kent, S., Lowry, C. A., & Hale, M. W. (2019). Social approach, anxiety, and altered tryptophan hydroxylase 2 activity in juvenile BALB/c and C57BL/6J mice. *Behavioural Brain Research*, *359*, 918–926. https://doi.org/10.1016/j.bbr.2018.06.019

Sachs, B. D., Ni, J. R., & Caron, M. G. (2015). Brain 5-HT deficiency increases stress vulnerability and impairs antidepressant responses following psychosocial stress. *Proceedings of the National Academy of Sciences*, *112*(8), 2557–2562. https://doi.org/10.1073/pnas.1416866112

Savelieva, K. V., Zhao, S., Pogorelov, V. M., Rajan, I., Yang, Q., Cullinan, E., & Lanthorn, T. H. (2008). Genetic Disruption of Both Tryptophan Hydroxylase Genes Dramatically Reduces Serotonin and Affects Behavior in Models Sensitive to Antidepressants. *PLoS ONE*, *3*(10), e3301. https://doi.org/10.1371/journal.pone.0003301

Sengupta, A., & Holmes, A. (2019). A Discrete Dorsal Raphe to Basal Amygdala 5-HT Circuit Calibrates Aversive Memory. *Neuron*, *103*(3), 489-505.e7. https://doi.org/10.1016/j.neuron.2019.05.029

Shaikh al arab, A., Guédon-Moreau, L., Ducrocq, F., Molenda, S., Duhem, S., Salleron, J., Chaudieu, I., Bert, D., Libersa, C., & Vaiva, G. (2012). Temporal analysis of heart rate variability as a predictor of post traumatic stress disorder in road traffic accidents survivors. *Journal of Psychiatric Research*, *46*(6), 790–796. https://doi.org/10.1016/j.jpsychires.2012.02.006

Sherin, J. E., & Nemeroff, C. B. (2011). Post-traumatic stress disorder: The neurobiological impact of psychological trauma. *Dialogues in Clinical Neuroscience*, *13*(3), 263–278. https://doi.org/10.31887/DCNS.2011.13.2/jsherin

Sijbrandij, M., Kleiboer, A., Bisson, J. I., Barbui, C., & Cuijpers, P. (2015). Pharmacological prevention of post-traumatic stress disorder and acute stress disorder: A systematic review and meta-analysis. *The Lancet. Psychiatry*, *2*(5), 413–421. https://doi.org/10.1016/S2215-0366(14)00121-7

Smith, K. L., Kassem, M. S., Clarke, D. J., Kuligowski, M. P., Bedoya-Pérez, M. A., Todd, S. M., Lagopoulos, J., Bennett, M. R., & Arnold, J. C. (2019). Microglial cell hyper-ramification and neuronal dendritic spine loss in the hippocampus and medial prefrontal cortex in a mouse model of PTSD. *Brain, Behavior, and Immunity*, *80*, 889–899. https://doi.org/10.1016/j.bbi.2019.05.042

Stam, R. (2007). PTSD and stress sensitisation: A tale of brain and body Part 2: Animal models. *Neuroscience & Biobehavioral Reviews*, *31*(4), 558–584. https://doi.org/10.1016/j.neubiorev.2007.01.001

Strekalova, T., Svirin, E., Waider, J., Gorlova, A., Cespuglio, R., Kalueff, A., Pomytkin, I., Schmitt-Boehrer, A. G., Lesch, K.-P., & Anthony, D. C. (2021). Altered behaviour, dopamine and norepinephrine regulation in stressed mice heterozygous in TPH2 gene. *Progress in Neuro-Psychopharmacology and Biological Psychiatry*, *108*, 110155. https://doi.org/10.1016/j.pnpbp.2020.110155

Tao, S., Chattun, M. R., Yan, R., Geng, J., Zhu, R., Shao, J., Lu, Q., & Yao, Z. (2018). TPH-2 Gene Polymorphism in Major Depressive Disorder Patients With Early-Wakening Symptom. *Frontiers in Neuroscience*, *12*, 827. https://doi.org/10.3389/fnins.2018.00827

Thakur, A., Choudhary, D., Kumar, B., & Chaudhary, A. (2021). A review on post-traumatic stress disorder (PTSD): "Symptoms, Therapies and Recent Case Studies." *Current Molecular Pharmacology*. https://doi.org/10.2174/1874467214666210525160944

Török, B., Sipos, E., Pivac, N., & Zelena, D. (2019). Modelling posttraumatic stress disorders in animals. *Progress in Neuro-Psychopharmacology and Biological Psychiatry*, *90*, 117–133. https://doi.org/10.1016/j.pnpbp.2018.11.013

Verona, E., & Kilmer, A. (2007). Stress exposure and affective modulation of aggressive behavior in men and women. *Journal of Abnormal Psychology*, *116*(2), 410–421. https://doi.org/10.1037/0021-843X.116.2.410

Voulo, M. E., & Parsons, R. G. (2017). Response-specific sex difference in the retention of fear extinction. *Learning & Memory*, *24*(6), 245–251. https://doi.org/10.1101/lm.045641.117

Voulo, M. E., & Parsons, R. G. (2019). Gonadal hormone fluctuations do not affect the expression or extinction of fear-potentiated startle in female rats. *Behavioral Neuroscience*, *133*(5), 517–526. https://doi.org/10.1037/bne0000324

Walther, D. J., Peter, J.-U., Bashammakh, S., Hörtnagl, H., Voits, M., Fink, H., & Bader, M. (2003). Synthesis of serotonin by a second tryptophan hydroxylase isoform. *Science (New York, N.Y.)*, *299*(5603), 76. https://doi.org/10.1126/science.1078197

Wankhar, W., Syiem, D., Pakyntein, C. L., Thabah, D., & Sunn, S. E. (2020). Effect of 5-HT2C receptor agonist and antagonist on chronic unpredictable stress (CUS) - Mediated anxiety and depression in adolescent Wistar albino rat: Implicating serotonin and mitochondrial ETC-I function in serotonergic neurotransmission. *Behavioural Brain Research*, *393*, 112780. https://doi.org/10.1016/j.bbr.2020.112780

Weidner, M. T., Lardenoije, R., Eijssen, L., Mogavero, F., De Groodt, L. P. M. T., Popp, S., Palme, R., Förstner, K. U., Strekalova, T., Steinbusch, H. W. M., Schmitt-Böhrer, A. G., Glennon, J. C., Waider, J., van den Hove, D. L. A., & Lesch, K.-P. (2019). Identification of Cholecystokinin by Genome-Wide Profiling as Potential Mediator of Serotonin-Dependent Behavioral Effects of Maternal Separation in the Amygdala. *Frontiers in Neuroscience*, *13*, 460. https://doi.org/10.3389/fnins.2019.00460

Xu, Z., Reynolds, G. P., Yuan, Y., Shi, Y., Pu, M., & Zhang, Z. (2016). TPH-2 Polymorphisms Interact with Early Life Stress to Influence

Response to Treatment with Antidepressant Drugs. *International Journal of Neuropsychopharmacology*, *19*(11), pyw070. https://doi.org/10.1093/ijnp/pyw070

Young, S. (2013). Acute tryptophan depletion in humans: A review of theoretical, practical and ethical aspects. *Journal of Psychiatry & Neuroscience*, *38*(5), 294–305. https://doi.org/10.1503/jpn.120209

Zoladz, P. R., D'Alessio, P. A., Seeley, S. L., Kasler, C. D., Goodman, C. S., Mucher, K. E., Allison, A. S., Smith, I. F., Dodson, J. L., Stoops, T. S., & Rorabaugh, B. R. (2019). A predator-based psychosocial stress animal model of PTSD in females: Influence of estrous phase and ovarian hormones. *Hormones and Behavior*, *115*, 104564. https://doi.org/10.1016/j.yhbeh.2019.104564

Sustained hyperarousal induced by acute stress in tryptophan-hydroxylase-2 genetic deficient male mice

ZHOU Ping[1], XIAO Hua[1], LI Yonghui[2,3], DONG Xinwen[2]

([1] Department of Psychology, Educational Science Faculty, Hunan Normal University, Changsha, Hunan 410081, China)

([2] CAS Key Laboratory of Mental Health, Institute of Psychology, Chinese Academy of Sciences, Beijing 100101, China)

([3] Department of Psychology, University of Chinese Academy of Sciences, Beijing 100049, China)

Abstract

Severe stress is one of the major external triggers of emotion-related mental disorders such as post-traumatic stress disorder (PTSD). Stress-induced sustained hyperarousal state is not only a core symptom but also a contributor to other symptoms such as sleep disturbance and negative mood. Serotonin, or 5-hydroxytryptamine (5-HT), is a monoamine neurotransmitter that regulates emotional response. In addition, the 5-HT system is the target for pharmacological treatment such as selective-serotonin re-uptake inhibitors (SSRIs) for major depressive disorder, PTSD, and other emotional disorders. However, it remains unknown whether serotonin is involved in the hyperarousal state caused by severe stress, as well as the mechanism by which genetic polymorphism in serotonin regulation contributes to the vulnerability of stress-related psychiatric disorders. Tryptophan-hydroxylase-2 (Tph2) is a serotonin synthesizing enzyme that converts tryptophan to 5-hydroxytryptophan in the brain. A genetic deficiency in the expression of Tph2 may lead to a lower level of serotonin in the brain. The present study focused on the role of serotonin in the development of stress-induced hyperarousal, investigating the behavioral effect of *Tph2* gene-deficiency after severe stress in a mice model.

Mice lacking *Tph2* (*Tph2*-/-) in the brain have a vitally low level of serotonin and a bad health

condition, so we used heterozygous *Tph2*-deficient mice (*Tph2*+/-) which have been shown to have a mild low level of serotonin in the brain. We measured the auditory startle reflex as an indicator of arousal level at different time points after predator-exposure stress or footshock stress in both male and female *Tph2*+/- and wild-type mice. The predator-exposure stress was to exposure a mouse to a cat for 5 minutes with a trained experimenter protecting the mouse from direct attack from the cat. The footshock stress was to exposure a mouse to a series of footshock (1.5 mA × 5s × 5, inter-shock interval 60 ~ 120 s) in a shock chamber. Then we measured the auditory startle reflex at 1-, 2-, 10-, and 18-day post-stress. For each startle test session, a total of 30 white noise stimuli were presented to the mice in a sound-isolated chamber (90 dB, 100 dB, 110 dB, ten stimuli for each level).

The results showed that the *Tph2*+/- male mice had a higher level of startle than the non-stressed group at 1, 2, and 10 days after footshock stress, indicating a sustained hyperarousal. However, wild-type male mice only had an increased startle response on the day after the footshock stress. For mice with predator exposure stress, both *Tph2*+/- male mice and wild-type male mice showed an increased startle response on the first day after the predator stress, but then returned to the same level as the non-stressed mice. We also observed a sex difference in mice's startle response that the female mice had a lower level of startle amplitude than that of male mice at baseline test before stress. In addition, female mice with different genotypes showed minor differences in their startle response at different time points after both types of stress.

The results of the study indicate that the *Tph2* genotype interacts with stress types in the regulation of long-term hyperarousal after severe stress events. Our results also provide preclinical evidence that individuals with *Tph2* gene deficiency may be more vulnerable to stress-induced hyperarousal and highlight the potential of targeting the serotonin system for post-traumatic intervention.

Key words hyperarousal, 5-hydroxytryptamine, tryptophan-hydroxylase-2, auditory startle reflex